

Zeitschrift: IABSE congress report = Rapport du congrès AIPC = IVBH
Kongressbericht

Band: 10 (1976)

Artikel: Versuchergebnisse vorgespannter Strahlträger im elastischen und
elastoplastischen Zustand

Autor: Ferjencik, Pavel / Tochacek, Miloslav

DOI: <https://doi.org/10.5169/seals-10549>

Nutzungsbedingungen

Die ETH-Bibliothek ist die Anbieterin der digitalisierten Zeitschriften. Sie besitzt keine Urheberrechte an den Zeitschriften und ist nicht verantwortlich für deren Inhalte. Die Rechte liegen in der Regel bei den Herausgebern beziehungsweise den externen Rechteinhabern. [Siehe Rechtliche Hinweise.](#)

Conditions d'utilisation

L'ETH Library est le fournisseur des revues numérisées. Elle ne détient aucun droit d'auteur sur les revues et n'est pas responsable de leur contenu. En règle générale, les droits sont détenus par les éditeurs ou les détenteurs de droits externes. [Voir Informations légales.](#)

Terms of use

The ETH Library is the provider of the digitised journals. It does not own any copyrights to the journals and is not responsible for their content. The rights usually lie with the publishers or the external rights holders. [See Legal notice.](#)

Download PDF: 08.02.2025

ETH-Bibliothek Zürich, E-Periodica, <https://www.e-periodica.ch>

hatten unterschiedliche Zahlen der Stegdiafragmen, stabilisierenden Diafragmen unter dem Trägeruntergurtflansch und Einlagen im Zugbandinneren.

Die Ansicht der Gesamtanordnung der Prüfung ist am Bild 2 zu sehen. Oben sieht man den stützenden Hilfsträger, unten ist der Prüfträger, zwischen beiden Trägern sind drei Belastungspresen. Die Vorrichtung am Bild 2 rechts sichert die Stabilität der geprüften Konstruktion. Am Bild 3 ist das Zugband vom Ringquerschnitt an der Stelle des stabilisierenden Diafragma mit /Bild 3a/ und ohne /Bild 3b/ der pressenden Einlagen. Die Vorspannpistole /Bild 4/ stützte sich auf den ringförmigen Dynamometer, mit dem die Zugbandkraft kontrolliert wurde.

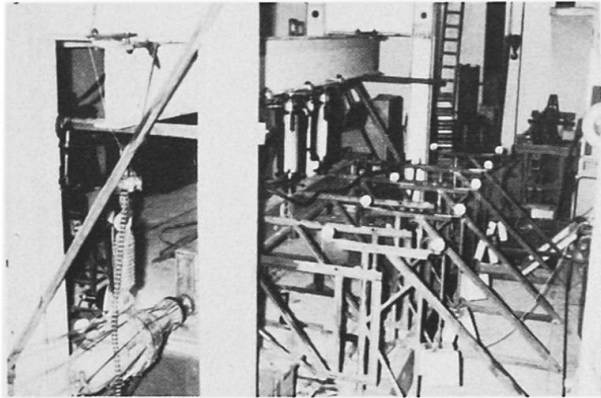
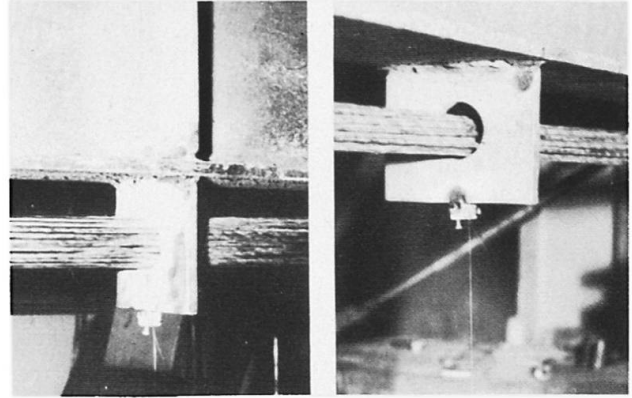


Bild 2.



a/ Bild 3. b/

Die Spannungen im Träger wurden mit 16 Widerstandstensiometern gemessen, die 10 cm von der Spannweitenmitte des Trägers angeordnet waren. Die Durchbiegungen wurden mittels Durchbiegungsmessern an den Viertelpunkten der Spannweite /unter den Lasten/ gemessen, Bild 5.

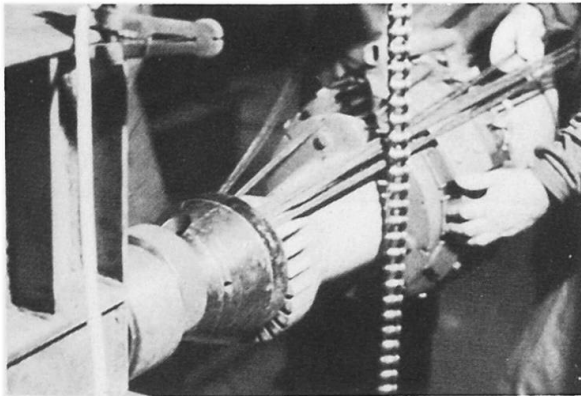


Bild 4.

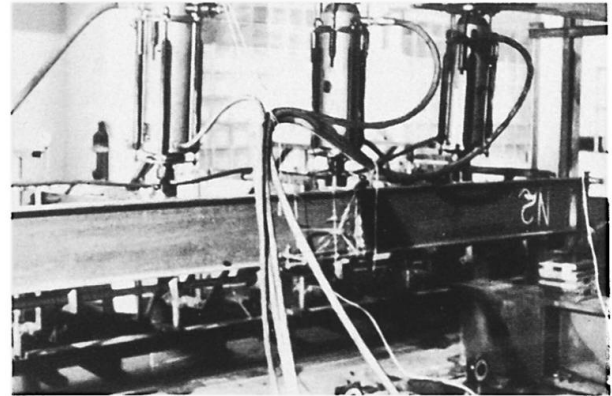


Bild 5.

Kontrolliert wurde auch die Stützensenkung. Bei zwei Trägern wurde die Trägerstabilität mit einer Ergänzungsprüfung gemessen, und zwar bei der Belastung nur durch die Vorspannkraft V : in einem Falle nach Beseitigung aller stabilisierenden Diafragmen /Bild 6/, in zweitem Fall beim Belassen dieser in der Spannweitenmitte des Trägers.

Bei den Trägerprüfungen kamen folgende Belastungsstufen zur Geltung: Vorspannkraft $V = 0-50-100-150-250-300$ kN; lotrechte Lasten $P = 0-20-5-40-5-60-5-80-5-90-5-100-110$ kN, usw. bis zum Bruch der Konstruktion.

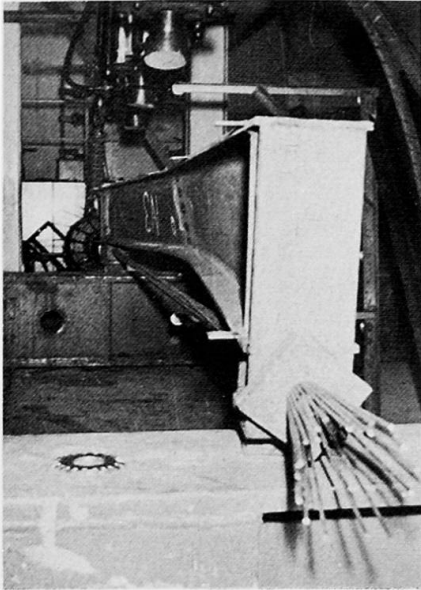


Bild 6. Stabilitätsverlust des Trägers, bei dem die stabilisierenden Diafragmen beseitigt wurden

Die Messergebnisse sind zu Diagrammen verarbeitet, von welchen je eines die Bilder 7 und 8 zeigen. Die erste Diagrammgruppe, die im Bild 7 gezeigt wird, stellt den Verlauf der Normalspannungen in der Trägermitte dar. Der Diagrammtyp im Bild 8 stellt das Anwachsen der verhältnismässigen Verformungen dar /lotrecht aufgetragen/, nachdem sie durch den Elastizitätsmodul multipliziert wurden /im elastischen Bereich also der Normalspannungen σ /in Abhängigkeit vom Anwachsen der Vorspannkraft V /horizontal nach rechts/ und der Belastung P /zurück in der Linksrichtung/. Ähnlich wurden die Messergebnisse der Durchbiegung y verarbeitet, Bild 9.

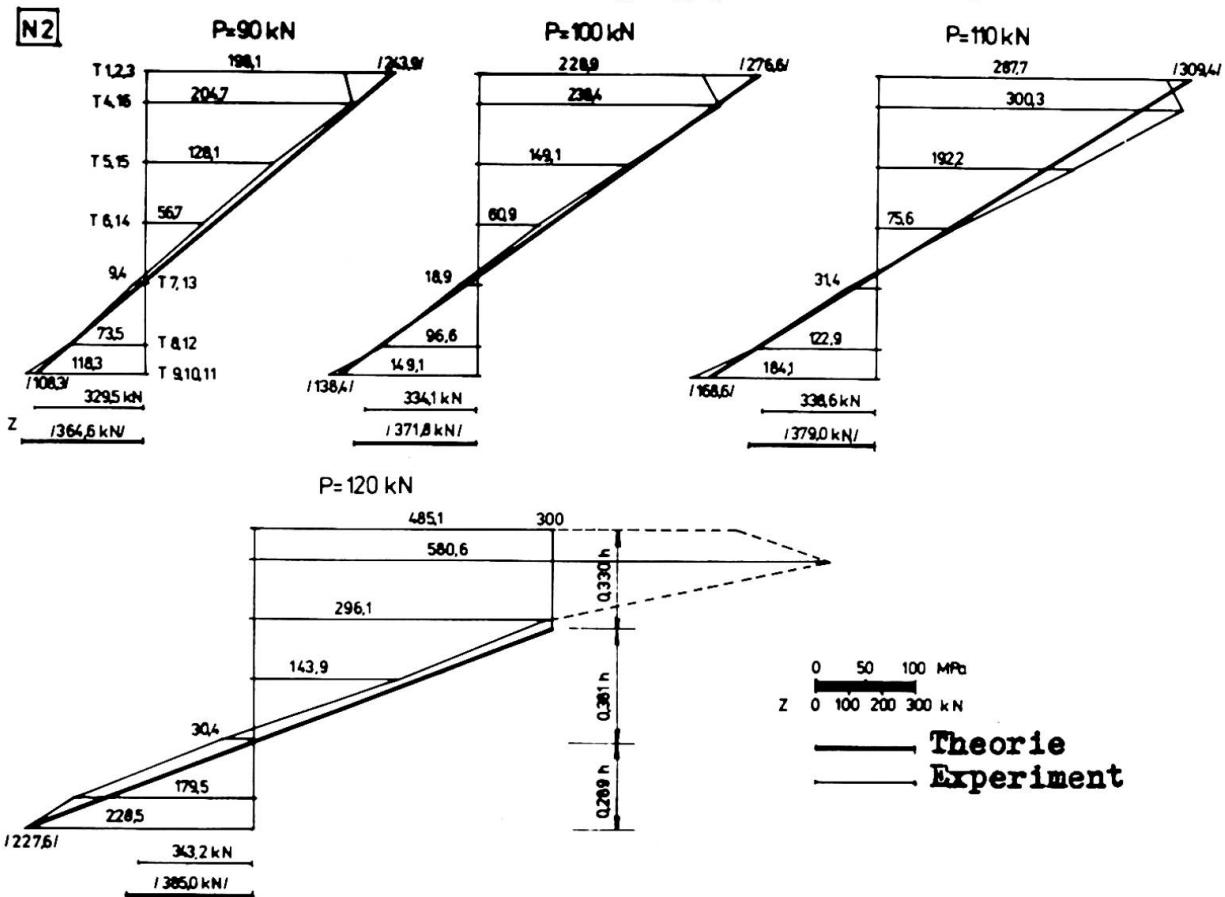


Bild 7. Träger N 2; Normalspannungen in der Mitte der Spannweite bei verschiedener Belastungsgrösse $3xP$

Die Prüfungen brachten folgende Erkenntnisse:

Die erwartete Tragfähigkeit vorgespannter Träger im elastischen Zustand /bei der Normfliessgrenze $\sigma_{f1} = 240$ MPa grösser als Berechnungsbeanspruchung $R = 210$ MPa/ war $3x90$ kN. Durch den Einfluss noch höherer wirklicher Fliessgrenze $\sigma_{f1} \approx 300$ MPa, stieg die theoretische elastische Tragfähigkeit auf cca $3x110$ kN. Nach der Norm /2/ berech-

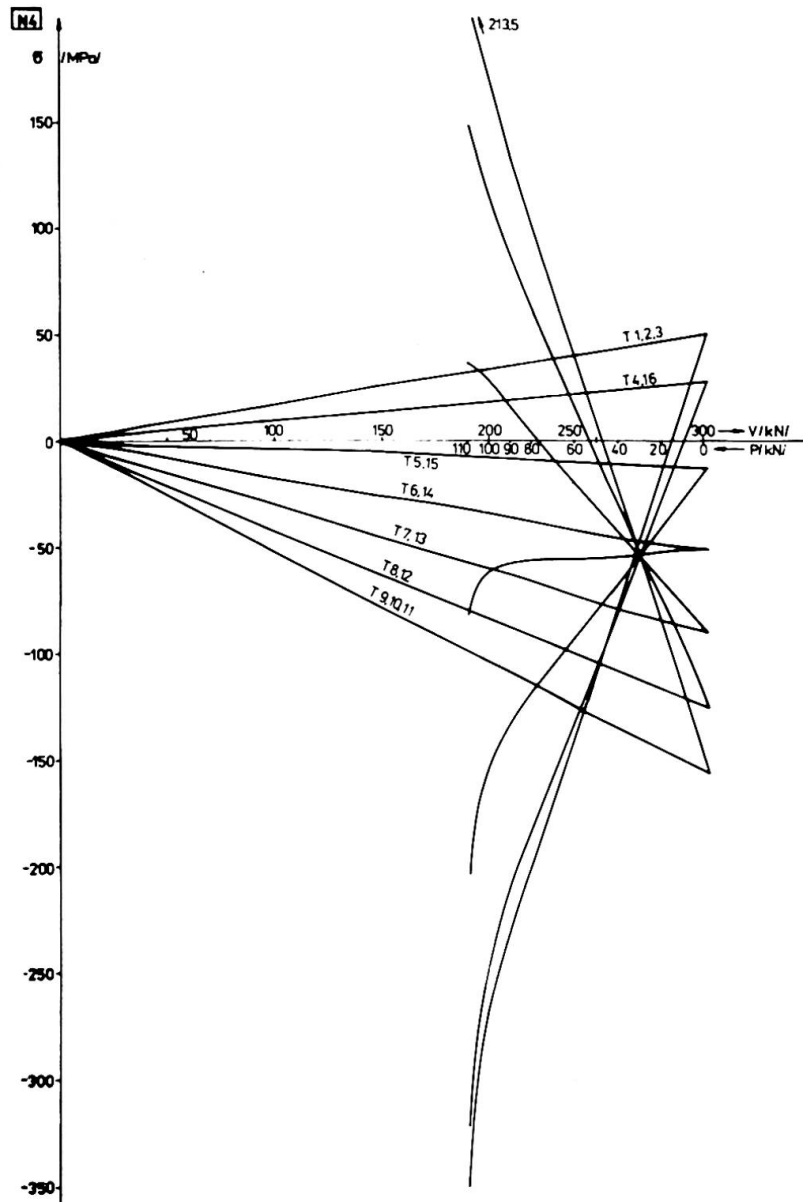


Bild 8. Träger N 4: Spannungsverlauf in Abhängigkeit von der Vorspannung V und Belastung P

net sich bei $R = 210$ MPa die tragende Last eines nicht vorgespannten Trägers I PE 30 mit $3 \times 61,6$ kN. In den ersten vier Trägern wurde eine hohe Tragfähigkeit erreicht, cca die doppelte des nach /2/ berechneten nicht vorgespannten Trägers. Bei den letzten zwei Trägern kam es zur Verringerung der Tragfähigkeit infolge Kippens; die Stützvorrichtung konnte den Obergurt nicht halten - auch so erreichte man eine um die Hälfte grössere Tragfähigkeit als beim nicht vorgespannten, nach /2/ berechneten, Träger.

Tensometrische Messungen zeigten eine sehr gute bis gute Übereinstimmung der Theorie und der Experimente. Es zeigte sich, dass mit den Vorkehrungen, die die Stabilität der Trägerdruckteile sichern, plastische Bereiche hervorgerufen werden können.

Die Durchbiegungsmessungen brachten folgende Erkenntnisse:

- Solange nur die Vorspannkraft wirkte, bestand eine sehr gute Übereinstimmung der theoretischen und gemessenen Durchbiegungen.

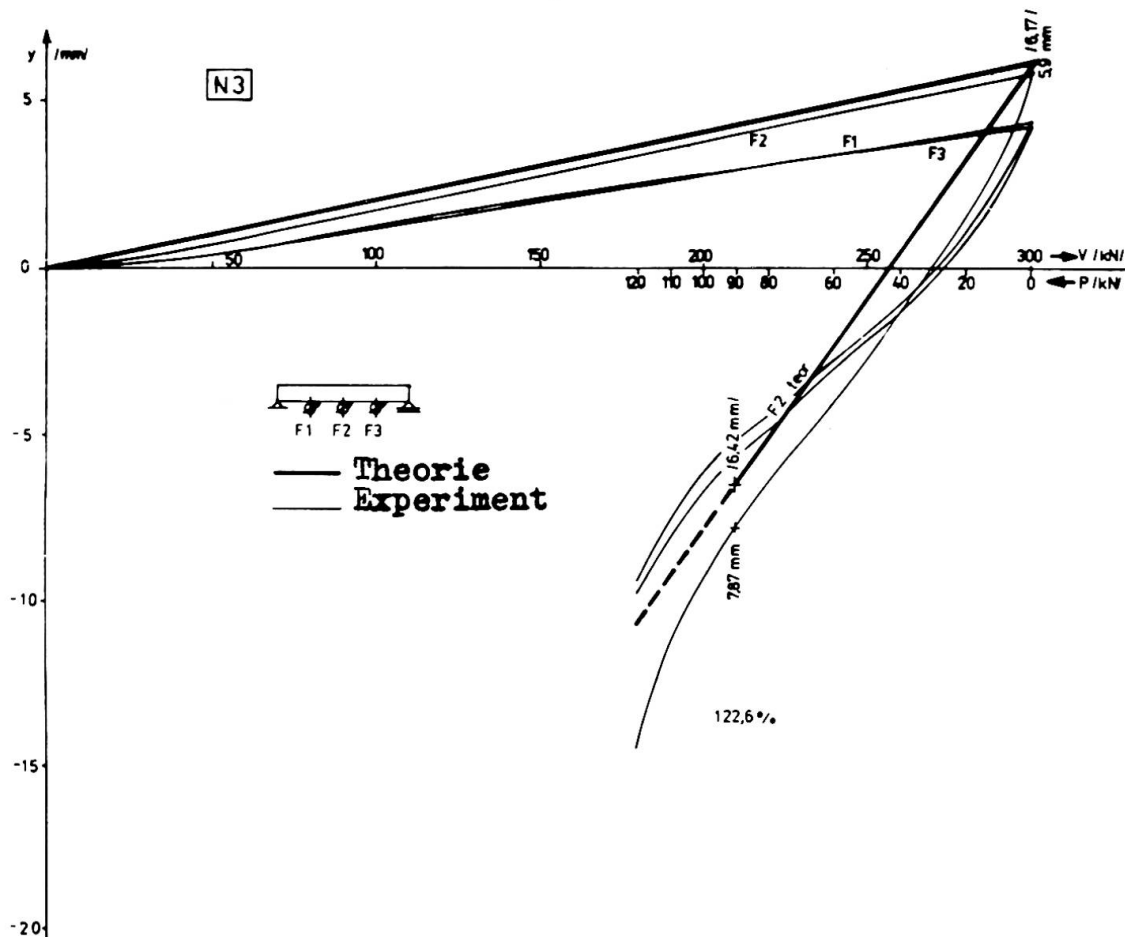


Bild 9. Durchbiegungen y des Trägers N 3 in Abhängigkeit von der Vorspannung V und Belastung P

In den Diagrammen, von denen eines am Bild 9 gezeigt wird, sind numerisch Kontrollwerte bei der Vorspannkraft $V = 300$ kN angegeben. Die theoretische Durchbiegung ist $6,17$ mm /100%/; der durchschnittliche Wert aus den gemessenen Durchbiegungen ist $5,71$ mm /92,5%/, also nur wenig geringer als berechnet. In den meisten Fällen wuchs die Durchbiegung linear.

- Wenn ausser der Vorspannung noch eine vertikale Belastung wirkte, waren die maximalen Durchbiegungen im Durchschnitt um 37% grösser als berechnet. Die Durchbiegungen waren grundsätzlich in guter Übereinstimmung mit den Spannungen, die gleichfalls höher waren als die berechneten.

Die Verschiedenheit der konstruktiven Lösung hat sich auf die Trägertragfähigkeit nicht ausgewirkt: Der Walzträger I PE hat einen genügend dicken Steg, so dass er hohe Einzellasten überträgt ohne dass der nicht ausgesteifte Steg lokal ausbeulte /I PE 30 überträgt verlässlich die Lasten 3×126 kN/. Der starke Untergurt braucht keine dichte Anordnung der stabilisierenden Diafragmen. Auch ein Träger ohne stabilisierende Diafragmen übertrug eine Vorspannkraft von 400 kN /also um 100 kN mehr als der verlangte Wert/.

Die Prüfungen haben bestätigt, dass durch Vorspannung mittels eines hochfesten Zugbandes die Tragfähigkeit der Walzträger bedeutend erhöht werden kann, besonders im elastischen Bereich. Die Tragfähigkeit wächst weiter, wenn die plastische Reserve des Stahles

genützt wird. Die Ausnutzung der plastischen Reserve stösst auf Probleme der Stabilität. Infolge der Vorspannung, Nutzung der plastischen Reserve des Materials und bedeutend hoher Fließgrenze des verwendeten Stahls erreichte man in 2/3 der Fälle der angeführten Experimente eine doppelte Tragfähigkeit gegenüber der, die die Berechnung des nicht vorgespannten Trägers /2/ ergibt.

Literatur:

- /1/ Ferjenčík, P. - Toháček, M.: Skúšky predpätých ocelových nosníkov v pružnom a pružnoplastickom stave. Druhá dielčia etapa ulohy P 12-124-003-02/2, e Predpäté kovové a lanové konštrukcie. Bratislava, KKDK SvF SVST, 1975.
- /2/ ČSN 73 1401 Navrhování ocelových konstrukcí. Praha ÚNM /Gültigkeit ab 1. 1. 1968/.